



UNIVERSIDADE ESTADUAL DE CAMPINAS  
INSTITUTO DE MATEMÁTICA, ESTATÍSTICA E COMPUTAÇÃO CIENTÍFICA  
DEPARTAMENTO DE MATEMÁTICA APLICADA



MARCIO ROBERTO SIMÕES JÚNIOR

## **Uma aplicação de ensemble ponderado em classificação de imagens de texturas**

Monografia apresentada ao Instituto de Matemática, Estatística e Computação Científica da Universidade Estadual de Campinas como parte dos requisitos para obtenção de créditos na disciplina Projeto Supervisionado, sob a orientação do(a) Prof. Dr. João Batista Florindo.

Campinas  
2020

## 1. Introdução

Após o estudo de redes neurais convolucionais e de alguns descritores de texturas para classificação de imagens médicas realizado em [1], na disciplina de MS777 do segundo semestre de 2019, para este trabalho iremos entender melhor como modelos de predição de problemas multiclasse funcionam. Utilizando classificadores binários como base e por meio do cálculo de métricas de distância entre as classes, será visto como podemos melhorar esses resultados.

Assim, generalizaremos qualquer classificador binário por meio da técnica chamada de *ensemble learning*, em que o ponderamento de *scores* nos ajuda a construir classificadores mais precisos e robustos para a classificação de nossas imagens médicas. Por fim, utilizaremos uma rede neural simples com o objetivo de combinar distâncias e *scores* e obter resultados ainda melhores.

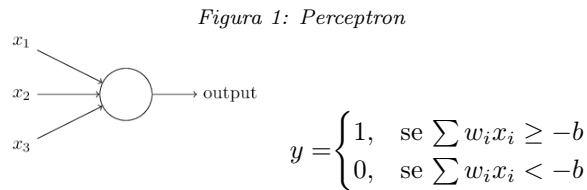
## 2. Classificando imagens

No aprendizado de máquinas, existem algumas técnicas utilizadas para a classificação de imagens. Duas delas são: redes neurais convolucionais e a classificação realizada a partir da extração de descritores de texturas.

### 2.1. Redes neurais convolucionais

As redes neurais artificiais tem como ideia imitar o funcionamento do nosso cérebro, onde dado um conjunto de neurônios, a unidade básica de um cérebro humano cuja a função é conduzir impulsos nervosos, uma combinação de impulsos é responsável pelo processamento de informações.

Para as redes neurais foi criada a ideia do neurônio matemático, onde dado uma entrada  $x_i$ , os pesos sinápticos  $w_i$  é capaz de controlar a intensidade de um impulso por meio de um limiar  $b$  que determinará a saída. O Perceptron é o modelo mais básico de uma rede neural, onde por exemplo, seja as entradas:  $x_1, x_2$  e  $x_3$ , temos que:



o resultado de  $y$  pode nos dizer, por exemplo, se a nossa entrada pertence ( $y = 1$ ) ou não ( $y = 0$ ) a uma determinada classe. Para obtermos os nossos parâmetros  $w_i$  e  $b$ , uma etapa de treinamento é necessária, onde a partir de uma função de erro e valores iniciais aleatórios podemos ir melhorando tais parâmetros.

Uma rede neural pode se tornar tão complexa quando um problema exige, através da adição de camadas ocultas e da utilização de diferentes arquiteturas. A arquitetura ao lado foi aplicada em [1] para classificação de dígitos, para classificarmos imagens consideramos cada entrada sendo um *pixel* da mesma. Todo o código da aplicação pode ser encontrada aqui, para tal foi utilizado o Jupyter Notebook e a linguagem Python.

Uma arquitetura muito utilizada para classificação de imagens são as **redes neurais convolucionais**, essa arquitetura considera a estrutura espacial de uma imagem, além de trabalhar com diferentes canais que podem, por exemplo, representar cada espectro do RGB, e um exemplo de aplicação realizada para a classificação de dígitos pode ser encontrada aqui.

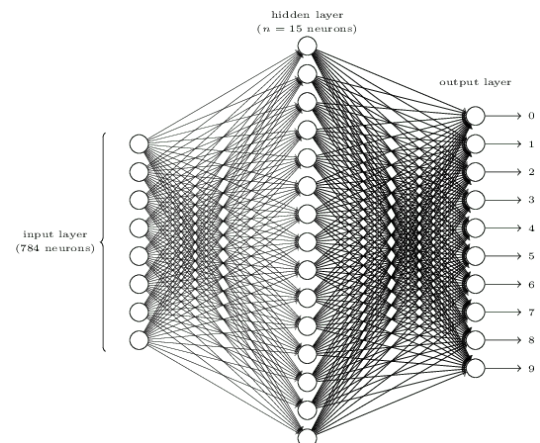


Figura 2: Exemplo de arquitetura de uma rede neural.

## 2.2. Extração de descritores de textura

Já na técnica de classificação de imagens por extração de descritores de textura, certos descritores quantitativos são extraídos diretamente do nosso conjunto de imagens e modelos já bem conhecidos de *machine learning* são aplicados sob esses descritores a fim de prever a classe das nossas imagens.

Alguns desses descritores são:

- **cor**: quantificada através do histograma de cores;
- **forma da imagem**: quantificada pelos Momentos de Hu [2];
- **textura**: quantificada através dos descritores de textura de Haralick [3].

Utilizamos essa segunda técnica em [1] para realizar a classificação do nosso conjunto de imagens médicas.

## 2.3. As imagens médicas

As imagens médicas aqui analisadas representam cistos mandibulares. Cistos são formações anormais e lesões que contêm fluido ou semifluido e são revestidos pelo tecido epitelial. O diagnóstico de cistos mandibulares costuma ser baseado em características histopatológicas e os dois tipos importantes de cistos são os *radiculares* e o *queratocisto odontogênico* (OKC).

Os cistos radiculares são os mais comuns entre os cistos odontogênicos. Já os OKCs são os menos frequentes e dentro deles existem ainda dois subtipos: os cistos solitários (esporádicos) e os cistos múltiplos (sindrômicos). No nosso conjunto de imagens, existem 1215 imagens de OKCs esporádicos (classe K), 900 imagens de cistos radiculares (classe R) e 801 imagens de OKCs múltiplos (classe S), totalizando 2916 imagens em nosso conjunto.

Os descritores utilizados para a aplicação da segunda técnica foram: cor, forma do núcleo celular e textura. A aplicação completa desde a extração dos descritores até a aplicação dos vários modelos de *machine learning* se encontra aqui. O modelo que obteve melhor resultado foi o *Random Forest* (RF) que sob o conjunto de teste atingiu 98,76% de acerto.

## 3. O Ensemble Learning

Quando tomamos uma decisão em nossa vida, levamos em consideração várias ponderações, por exemplo: quando vamos realizar uma compra pela internet, consideramos o preço, a avaliação do produto e do vendedor, a opinião de amigos e de especialistas, etc. para só assim tomarmos um decisão.

No *ensemble learning* é usada uma ideia semelhante onde os resultados das classificações são combinados a fim de obter a classe mais condizente com a nossa entrada:

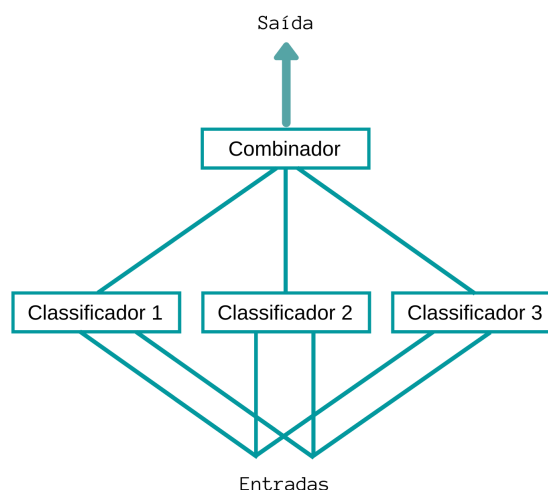


Figura 3: Exemplo de uma estrutura ensemble.

Essa combinação pode ser construída de diversas maneiras, algumas das utilizadas são: média, média ponderada e votação Máxima (3.1). Estas podem ser diretamente aplicadas sobre algum resultado numérico das

previsões dado para cada classe ou sobre algum *score* quando as classes representam objetos.

**média:** aqui, é simplesmente calculada a média das previsões dada pelos classificadores e o resultado dessa média será a nossa saída.

**média ponderada:** já aqui, cada classificador recebe um peso diferente para o cálculo da média, em que esse peso representa a relevância do classificador.

### 3.1. Votação Máxima

No método de Votação Máxima, as previsões dadas por cada classificador são utilizadas como **voto**, de modo que aquela com maior número de votos é a nossa saída.

Por exemplo, vamos supor que em um processo de classificação de imagens que podem pertencer às classes  $\{C_1, C_2\}$ , existem 5 classificadores diferentes na nossa estrutura de *ensemble learning* e os resultados das previsões foram:

classificador 1	classificador 2	classificador 3	classificador 4	classificador 5
$C_2$	$C_2$	$C_1$	$C_2$	$C_2$

Assim nossa classe de saída será  $C_2$ , pois dos 5 classificadores 3 classificaram nossa entrada como  $C_2$ .

### 3.2. Scores

O *score* é um número real que possui um modo de atribuição para cada classificador e representa o quanto uma entrada está associada a uma determinada classe. Algumas vezes esse número representa a probabilidade de um objeto pertencer a uma classe dentro do conjunto total de classes.

Aqui nesse trabalho, dado um problema de classificação de  $n$  classes, chamaremos de vetor de *scores* ao vetor  $R = (r_1, r_2, \dots, r_n)$  tal que  $r_i \in [0, 1]$  e representa o *score* de uma entrada em relação a uma classe  $C_i$ , ou seja, um valor de confiança do quanto um objeto (imagem no nosso caso) pertence a essa classe.

### 3.3. Classificação multiclases

A área de aprendizado de máquinas apresenta uma série de estratégias que permitem lidar com problemas multiclases utilizando classificadores binários (onde há apenas duas possibilidades para uma entrada dada uma classe: positiva ou negativa). Duas dessas estratégias que são as mais populares e usadas por muitos modelos são: *One-vs-All* (OvA) e *One-vs-One* (OvO).

#### 3.3.1. One-vs-All (OvA)

No *One-vs-All*, um problema de classificação em multiclases é dividido em vários problemas de classificação binária, de modo que dado um problema de  $n$  classes, são utilizados assim  $n$  classificadores binários.

Cada classificador, correspondendo a um classificador base, é responsável por distinguir uma classe  $C_i$  das demais classes, e assim, seja  $C_i$  uma classe correspondente a uma entrada, considera-se  $C_i$  como positiva e todas as demais como negativas. E uma abordagem comum utilizada para se combinar os resultados é, dado o vetor de *scores*  $R$  com  $r_i \in [0, 1]$ , a classe  $C_i$  de saída é tal que  $i = \arg \max_{i=1, \dots, n} r_i$ .

#### 3.3.2. One-vs-One (OvO)

Já no *One-vs-One*, um problema multiclases é dividido em  $n(n-1)/2$  problemas de classificação binária, em que cada classificador, por meio de um método base, é responsável por distinguir uma classe  $C_i$  de uma outra classe  $C_j$ , e assim, é montada uma matriz de votação com os resultados de todas as classes positivas possíveis. Uma abordagem utilizada para combinar os resultados seria a utilização da Votação Máxima. Parte-se de uma matriz de *scores*

$$R = \begin{pmatrix} - & r_{12} & \dots & r_{1n} \\ r_{21} & - & \dots & r_{2n} \\ \vdots & & & \vdots \\ r_{n1} & r_{n2} & \dots & - \end{pmatrix},$$

em que  $r_{ij} \in [0, 1]$  é o *score* atribuído a favor da classe  $C_i$  na distinção entre  $C_i$  e  $C_j$ , enquanto que  $r_{ji}$  é o *score* a favor da classe  $C_j$  e é tal que  $r_{ji} = 1 - r_{ij}$ , ou seja, a matriz  $R$  é simétrica. Logo, por Votação Máxima, temos que a classe  $C_i$  atribuída a uma entrada é tal que  $i = \arg \max_{i=1, \dots, n} \sum_{1 \leq i \neq j \leq n} r_{ij}$ .

#### 4. Ensemble ponderado

Usando a técnica de *Ensemble Learning* ponderado, podemos aplicar um vetor de transformação  $(\omega_1, \omega_2, \dots, \omega_n)$  em nosso vetor de *scores*  $R$  a fim de melhorar os resultados, obtendo assim o vetor  $R^\omega = (r_1\omega_1, r_2\omega_2, \dots, r_n\omega_n)$ . Logo, em OvA:  $i = \arg \max_{i=1, \dots, n} \omega_i r_i$ ; e em OvO:  $i = \arg \max_{i=1, \dots, n} \sum_{1 \leq i \neq j \leq n} \omega_{ij} r_{ij}$ .

##### 4.1. Extraindo descritores e classificando as imagens médicas

Realizaremos mais uma vez para esse trabalho o processo de extração de descritores do nosso conjunto de imagens médicas para estudarmos a melhor maneira de obtermos os pesos ponderados e aplicar essa ideia na classificação das nossas imagens.

Depois partiremos para a classificação, repetindo assim o processo de primeiramente extrair os descritores do conjunto de imagens e em seguida aplicar algum modelo de classificação.

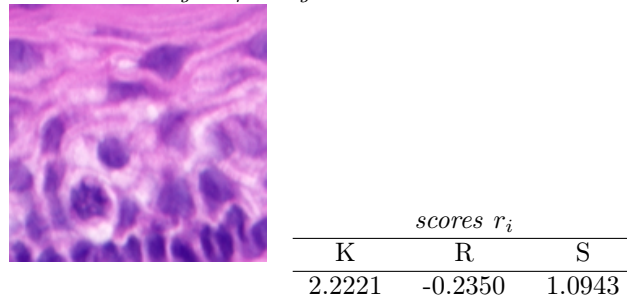
Aqui utilizaremos o classificador *Support Vector Machine* (SVM), o qual aqui usa a ideia do OvA. O conjunto total de dados será dividido meio a meio para treinamento e teste. Para a implementação, utiliza-se o Jupyter Notebook e a linguagem Python, junto com a biblioteca Scikit-learn, que já possui vários modelos de *machine learning* implementados e a biblioteca OpenCV-Python, utilizada para a extração dos descritores da imagem.

A taxa de acerto do nosso modelo foi de 87,65% e o código completo se encontra aqui.

##### 4.2. Experimentando uma imagem teste qualquer

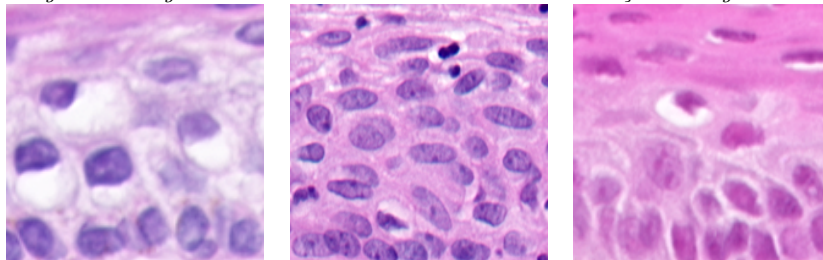
Selecionamos uma imagem teste qualquer do nosso conjunto teste e verificamos que ela pertence a classe S, em seguida, verificamos qual o *score* dela em relação a cada classe e é possível observar que o *score* mais alto é aquele relacionado à classe K:

Figura 4: Imagem teste - classe S



Em seguida, selecionamos uma imagem de cada classe do nosso conjunto de treinamento e, utilizando a ideia destacada em [4], calculamos a Distância Euclidiana (4.3) entre os vetores descritores das imagens de cada classe selecionada e o vetor descritor da imagem teste, obtendo assim os resultados a seguir:

Figura 5: Imagens de treinamento e suas distâncias em relação à imagem teste.



distâncias $d_i$		
K	R	S
0.8177	1.4962	0.3231

Observe que se aplicamos a transformação  $r_i \rightarrow r_i/d_i$  em seu valor absoluto, obtemos como maior valor a classe S, como desejávamos. Logo, é possível aplicar uma ponderação combinando distâncias.

novos scores	K	R	S
$r_i \rightarrow r_i/d_i$	2.7174	0.1571	3.3861

### 4.3. Distância Euclidiana

A distância é um resultado numérico que nos diz o quão próximo duas imagens estão (sendo uma delas pertencente a uma classe conhecida), ou seja, tem um significado geométrico intrínseco e é razoável que seja usada como um parâmetro para ponderar nosso *ensemble*. Aqui iremos usar a distância Euclidiana, em que dados dois vetores  $X = (x_1, x_2, \dots, x_n)$  e  $Y = (y_1, y_2, \dots, y_n)$  temos que a distância  $d(X, Y)$  é tal que:

$$d(X, Y) = \sqrt{(x_1 - y_1)^2 + (x_2 - y_2)^2 + \dots + (x_n - y_n)^2}.$$

Para as imagens, os vetores utilizados serão os próprios vetores descritores.

Outras maneiras de se calcular distâncias são utilizadas na classificação de imagens, como a *Distância Espacial Ponderada*, que divide uma imagem em blocos e calcula a soma ponderada das distâncias entre os blocos correspondentes de cada imagem e na qual geralmente é dada maior importância ao centro da imagem; Outra maneira é por meio da *Matriz de Coocorrência* de Haralick.

### 4.4. Calculando os pesos

Logo, para o nosso modelo OvA, uma forma sugerida em [4] de calcular os nossos pesos  $\omega_i$  seria tal que,

$$\omega_i = \left( \frac{1}{n} \sum_{j=1, \dots, n} d_j \right) / d_i, i \neq j,$$

ou seja, é calculada a relação entre a média das demais distâncias e a distância da imagem de treinamento correspondente à imagem teste.

Isso significa que quanto mais perto está a imagem teste da sua imagem com a classe correspondente do conjunto de treinamento, mais o seu *score* será aumentado.

### 4.5. Aplicando o *ensemble* e generalizando para qualquer classificador

Para aplicar a técnica descrita acima em nosso conjunto, resselecionamos nossas imagens do conjunto de treinamento usadas para calcular a distância em relação à imagem teste. Para tal, calculamos a distância de cada imagem de treinamento em relação às outras imagens de treinamento pertencentes à mesma classe, e a partir da soma dessas distâncias, selecionamos a imagem de cada classe que menor se distancia de cada uma das demais imagens de sua classe.

Aplicando então o *ensemble learning* ponderado em nosso conjunto de teste usando o cálculo de pesos apresentado acima (lembrando que o código completo se encontra nesse link), obtemos uma nova taxa de acerto de 88,44%.

É possível ainda aplicar essa ideia em qualquer classificador base, e não necessariamente só em classificadores binários como apresentado, uma vez que aplicamos a transformação nos *scores* de saída de cada classe.

No código, foi aplicado também a mesma ideia em cima do classificador RF (*Random Forest*), para o qual obtemos o melhor resultado sob o conjunto teste dentre os modelos aplicados em [1] e a taxa de acerto foi de 98,76% para 98,80%.

## 5. Usando uma rede neural como *ensemble*

E se achássemos a melhor forma de combinar os *scores* e as distâncias por meio de uma rede neural? A ideia aqui é construir uma rede neural como na figura ao lado, que dado os *scores* e as distâncias aplique uma transformação em nossos *scores* que melhore os resultados.

Para tal, utilizamos uma rede neural simples de *perceptrons* com 6 neurônios de entrada (os 3 *scores* e as 3 distâncias), apenas uma camada oculta com 50 neurônios, função de ativação ReLu e 3 neurônios de saída que representam cada uma das nossas classes. Usamos também o classificador de

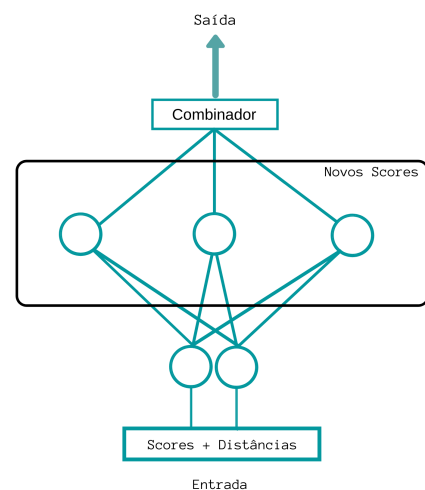


Figura 6: Exemplo de uma estrutura ensemble com rede neural.

rede neural *Multi-layer Perceptron* (MLP) existente na própria biblioteca Scikit-learn usada anteriormente.

Para a combinação SVM+Rede neural obtemos uma taxa de acerto de 88,20% e para a combinação RF+Rede Neural obtemos 99,45%, de modo que para a segunda combinação obtemos uma taxa maior do que as anteriores.

## 6. Resultados

Montamos em seguida uma tabela a fim de compararmos os resultados obtidos em cada combinação de classificador com cada uma das técnicas de *ensemble learning* apresentadas. Acrescentamos ainda algumas redes neurais (RNN) com mais uma camada oculta (50 neurônios).

	sem <i>ensemble</i>	pesos calculados	RNN (3)	RNN (4)
<b>SVM</b>	87,65%	88,44%	88,20%	89,50%
<b>RF</b>	98,76%	98,80%	99,45%	99,58%

Logo, é possível observar-se que com o *ensemble learning* conseguimos melhorar os resultados e a melhor combinação para a classificação das nossas imagens médicas foi RF+Rede Neural. E que, usando redes neurais com uma arquitetura um pouco mais robusta, obtemos ainda melhores resultados.

## 7. Conclusão

No primeiro estudo realizado em MS777 [1] foram usadas duas técnicas de aprendizado de máquina para a classificação de imagens: redes neurais convolucionais e a classificação realizada a partir da extração de alguns descritores de textura. Obtivemos ótimos resultados com a aplicação da segunda técnica na classificação das nossas imagens médicas.

Nesse trabalho, aprofundamos o entendimento de problemas de multiclases e a partir da combinação de métricas de distâncias entre classes com os resultados obtidos anteriormente, conseguimos estudar formas de melhorar a técnica anterior. Assim, aplicamos juntamente a técnica do *ensemble learning*, em que utilizando-se métricas de distância foi possível obter pesos ponderados a fim de melhorar os *scores* atribuídos a cada classe antes de ser realizada de fato a determinação de uma saída.

Por fim, utilizamos nosso conhecimento em redes neurais para realizar o poderamento combinando distâncias e *scores* através de uma rede neural simples de *perceptrons*. Por meio da combinação de classificador e rede neural obtivemos os melhores resultados. Como utilizamos redes neurais simples com entradas e saídas do tamanho das nossas classes, essa etapa não exige um custo computacional adicional muito alto e com isso mostra-se ser um ótimo caminho para construirmos classificadores mais precisos e robustos.

## Referências

- [1] *Redes neurais convolucionais e máquinas de vetores de suporte para classificação de imagens médicas.*  
URL <https://www.ime.unicamp.br/~mac/db/2019-2S-183360.pdf>
- [2] *Hu moments.*  
URL [https://en.wikipedia.org/wiki/Image\\_moment](https://en.wikipedia.org/wiki/Image_moment)
- [3] *Haralick texture.*  
URL <http://haralick.org/journals/TexturalFeatures.pdf>
- [4] E. B. H. B. "J.I. Forcén", "M. Pagola", *Combination of features through weighted ensembles for image classification*, *Applied Soft Computing Journal* 84. doi:<https://doi.org/10.1016/j.asoc.2019.105698>.